



بررسی تغییرات الگوی پروتئوم برگ گیاه توتون (*Nicotiana tabacum* L.) تحت تنفس شوری با استفاده از الکتروفورز دوبعدی

علی اصغر حاتم نیا^۱, رضا درویش زاده^{۲,۳}, ناصر عباس پور^۴, فاطمه رحمانی^۴, سید رضا علوی^۵ و فرزاد بنایی^۶

- ۱- استادیار، دانشکده علوم دانشگاه اسلام
۲- استاد، دانشکده کشاورزی دانشگاه ارومیه، (نویسنده مسؤول: r.darvishzadeh@urmia.ac.ir)
۳- استاد، پژوهشکده زیست فناوری دانشگاه ارومیه
۴- دانشیار، دانشکده علوم دانشگاه ارومیه
۵- محقق مرکز تحقیقات توتون ارومیه
۶- دانشجوی دکتری، دانشکده کشاورزی دانشگاه تبریز
تاریخ پذیرش: ۹۵/۴/۲۳

چکیده
برای بررسی واکنش گیاه توتون به تنفس شوری، آنالیز مقایسه‌ای پروتئوم برگ ژنوتیپ S. 31 Basma انجام گرفت. گیاهان به مدت ۱۲ روز در معرض سطوح شوری صفر و ۲۰۰ میلی‌مولار کلرید سدیم در کشت هیدرپوپونیک قرار گرفتند. پروتئین برگ استخراج شده و به وسیله الکتروفورز دوبعدی جداسازی شد. وزن تر و همچنین طول اندام هوایی در ژنوتیپ مورد مطالعه با افزایش سطح شوری کاهش نشان داد. تحت تنفس شوری تعداد ۱۹ لکه پروتئینی (از ۴۶ لکه شناسایی شده) دارای بیان متغیری بودند. در حالی که سطوح برخی از پروتئین‌ها به وسیله تیمار شوری کاهش یافت، اما افزایش ایناشتگی تعدادی از پروتئین‌ها نیز مشاهده شد. در ژنوتیپ مورد مطالعه تعداد لکه‌های پروتئینی که در برگ افزایش بیشتر از تعداد لکه‌های پروتئینی بود که کاهش نشان داشتند (به ترتیب ۱۰ و ۹ لکه پروتئینی). نتایج نشان می‌دهد که بیشترین و گمترین افزایش بیان مربوط به لکه‌های ۱۶ و ۷ به ترتیب با ۶/۱ و ۱/۴۸ برابر افزایش بیان، می‌باشد. همچنین بیشترین کاهش بیان در بین لکه‌ها مربوط به لکه پروتئینی ۱۸ با ۴/۴ برابر کاهش بیان، می‌باشد. شوری یک پدیده پیچیده می‌باشد که تنها سبب اثرات اسمزی و سمعی یونی نمی‌شود، بلکه سبب بهم خوردن تعادل مواد غذایی و متابولیسم نیز می‌شود. با توجه به نتایج بدست آمد به نظر می‌رسد گیاه توتون با تغییر در سطح بیان پروتئین‌های مختلف می‌تواند شرایط تنفس را تا حدودی تحمل کند، به طوری که گمان می‌رود افزایش بیان پروتئین‌های با وزن مولکولی پایین که به احتمال زیاد پروتئین‌های تنظیم‌کننده فعالیت سلولی هستند، در تحمل تنفس شوری موثر باشد.

واژه‌های کلیدی: الکتروفورز دوبعدی، پروتئوم، تنفس شوری، تحمل پذیری، لکه پروتئین

گیاهان و در صورت شدت بالای تنفس شوری سبب مرگ گیاه می‌شود^(۴). سازگاری و تحمل شوری در گیاهان یک فرآیند کاملاً پیچیده هم در سطح سلولی و هم در سطح کل گیاه می‌باشد و نیازمند تغییرات در سطح بیان ژن‌ها می‌باشد که این تغییرات به نوعه خود منجر به تغییرات در بیان پروتئین می‌شود^(۲۲) بر اساس مطالعات فیزیولوژیک و پروتئومیکس، چندین مکانیسم سازگاری و تحمل شوری در گیاهان تحت تنفس شوری شناسایی شده‌اند. از جمله این موارد می‌توان به افزایش در گلیکولیز، چرخه تری کربوکسیلیک اسید، متابولیسم اسیدهای آمینه، بیوسنتر ATP و بیوسنتر پروتئین‌های مرتبط با دفاع جهت سمتی‌زادی اشاره کرد^(۲۴). مطالعات فیزیولوژیک، ژنتیک مولکولی و ژنومیکس باعث افزایش داشت شوری فیزیولوژیک و مولکولی درباره تحمل تنفس شوری در گیاهان شده است. این دستاوردها منجر به شناسایی، جداسازی و کلون کردن ژن‌ها و پروتئین‌های مهمی برای سنتر اسمولیت‌ها، کانال‌های یونی، فاکتورهای علامت‌دهی و آنزیم‌های مرتبط با شوری شده است. به عبارت دیگر این دستاوردها منجر به شناسایی عملکرد اساسی ژن‌ها و پروتئین‌هایی شده‌اند که سبب ایجاد پاسخ و سازگاری گیاهان به تنفس شوری می‌شوند^(۲۶). البته مطالعات

مقدمه

توتون (*Nicotiana tabacum* L.) گیاهی است یکساله، بهاره و متعلق به خانواده سولاناگه می‌باشد. این گیاه دارای یک ریشه اصلی عمیق است که از آن انشعابات جانبی زیادی تولید می‌گردد^(۷). تنفس شوری شایع ترین تنفس زیستی در گیاهان می‌باشد^(۱۳، ۱۹). مهار رشد رویشی اولین و مهم‌ترین پاسخ به شوری بوده که توسط مطالعات فراوانی ذکر شده است^(۲۱). از آنجایی که گیاهان نمی‌توانند از تنفس‌های غیر زیستی فرار کنند، راهکارهای متفاوتی را در طول تکامل جهت سازگاری با شرایط محیطی متغیر در خود توسعه داده‌اند تا این طریق با تنفس به مقابله برخاسته و اثرات تنفس را به حداقل برسانند. سازگاری گیاهان به تنفس شامل دریافت و درک تنفس، انتقال سیگنال‌های تنفس و در آخر پاسخ گیاه به تنفس می‌باشد.

تنفس شوری یک مشکل جدی و در حال افزایش می‌باشد، بنابراین شناسایی مکانیسم‌هایی مجهت بهبود تحمل شوری در گیاهان با تکنولوژی‌های زیست مولکولی از اهمیت خاصی برخوردار است. تنفس شوری سبب تنفس اسمزی، بهم خوردن هموستازی سلولی و سمتی یونی در سلول‌های گیاهی می‌شود. اثرات ملایم تنفس شوری سبب کاهش رشد و نمو در

رویی را دور ریخته و به رسوب ۱۰۰ میلی لیتر محلول لیزیز CHAPS (۵ درصد، ۱۰۰ میلی مولار، اوره ۸/۵ pH ۵-۸ میلی مولار، تیو اوره ۲/۵ میلی مولار و آمفولیت با pH ۳-۱۰) (۱۰ دقیقه شد، سپس محلولها با دور ۱۵۰۰۰ میکرو لیتری در حقیقت عصاره پروتئینی است که پس از تعیین غلظت با استفاده از روش برادفورد (۵) جهت انجام الکتروفورز دو بعدی مورد استفاده قرار گرفت.

الکتروفورز دو بعدی

جهت جداسازی پروتئین‌ها از الکتروفورز دو بعدی استفاده شد که در بعد اول آن از نوارهای IPG (Immobilized pH Gradient) با طول ۱۸ سانتی متر و شب pH ۴ تا ۷ و در بعد دوم از SDS-PAGE استفاده گردید (۲). در این آزمایش برای وارد نمودن پروتئین‌ها به داخل ژلهای ابتدی پروتئین‌ها در محلول باز جذب (Rehydration) حل شدند و سپس همزمان با باز جذب (Rehydration) حل شدند و عمل باز جذب در طول بارگیری روی نمونه‌ها انجام گرفت. عمل باز جذب در طول شب و به طور متوسط ۱۶ ساعت به طول انجامید. برای انجام بعد اول الکتروفورز از دستگاه مولتی فور II ساخت شرکت آمرشام بیوساینس (ایالات متحده) استفاده شد. برای بارگیری پروتئین‌ها روی ژلهای ۱۸ سانتی متری به طور متوسط نیاز به ۴۲ هزار ولت ساعت (42KVh) است که این میزان در چندین مرحله با ولتاژهای مختلف تأمین شد. پس از پایان بعد اول مرحله متعادل سازی نوارها صورت گرفت و سپس بعد دوم الکتروفورز انجام گرفت که برای انجام بعد دوم از دستگاه ProteinII Xi Cell ساخت شرکت بیورد (ایالات متحده) استفاده شد.

اکتساب تصاویر

پروتئین‌ها با استفاده از الکتروفورز دو بعدی تفکیک شده و با استفاده از نیترات نقره رنگ آمیزی شدند. پس از رنگ آمیزی، ژلهای ابتدی پروتئین‌ها را با استفاده از دانسیومتر GS800 ساخت شرکت بیورد (ایالات متحده) اسکن شده و به فرمت خام ژلهای ۲d (Raw 2d) ذخیره شدند و در نهایت به وسیله نرم افزار PDQuest (توسعه یافته توسعه شرکت بیورد) به فرمت تیف درآورده شدند. پس از بدست آوردن تصاویر به فرمت دیجیتالی، ژلهای میان سلفون قرار داده شده، اطراف آنها مهر و موم و در بچال در دمای ۴ درجه سانتی گراد برای نگهداری طولانی مدت قرار داده شدند. جهت بررسی تغییرات کمی بین پروتئین‌ها از مقدار درصد حجمی هر لکه استفاده شد و برای شناسایی اختلاف بین لکه‌ها در سطوح شوری صفر و ۲۰۰ میلی مولار کلرید سدیم از آزمون F - استیووند در سطح احتمال ۵٪ استفاده شد.

آنالیز آماری

برای بررسی های مورفو لوژیک از نرم افزار SPSS نسخه ۱۶ استفاده گردید. برای همه آزمایش‌های انجام شده سه تکرار در نظر گرفته شد. اختلاف بین سطوح مختلف شوری با استفاده از آنالیز واریانس یک طرفه (ANOVA) و مقایسه میانگین‌ها با آزمون Tukey در سطح احتمال ۵ درصد ($P < 0.05$) انجام گرفت. برای بررسی کمی و کیفی لکه‌های

ترانسکریپتومیک قادر است اطلاعاتی از بیان ژن در سطح mRNA را آشکار سازد. به هر حال، تغییرات بعد از رونویسی و بعد از ترجمه از قبیل فسفوریله شدن و گلیکوزیله شدن سبب می‌شود که بیان mRNA با سطح پروتئین بیان شده که مستقیماً مرتبط با فرآیندهای علامت‌دهی و متابولیسم تحت تنش شوری می‌باشد، کاملاً متناسب نیاشد (۲۸). بنابراین کاملاً ضروری است که پاسخ گیاه به تنش شوری در سطح پروتئین بررسی شود. با وجود ظهور تکنیک‌های جدید هم اکنون الکتروفورز دو بعدی روش اصلی برای حداصازی پروتئین‌ها می‌باشد، به طوری که برای شناسایی پروتئین‌ها و تغییرات پروتئومی القاء شده به وسیله تیمارها و تغییرات محیطی از الکتروفورز دو بعدی استفاده می‌شود (۲۲). تحقیقات اخیر بیشتر روی پروتئوم در گیاهان مرکز شده است، زیرا اطلاعات جامعی برای درک مکانیسم‌های پیچیده پاسخ و سازگاری گیاهان به تنش شوری را ارائه می‌دهد (۶).

پژوهش حاضر به منظور بررسی تغییرات الگوی پروتئوم برگ در ژنوتیپ ۳۱ Basma S. توتون تحت تیمار شوری صفر و ۲۰۰ میلی مولار کلرید سدیم و بررسی واکنش مولکولی و فیزیولوژیکی این گیاه به تنش شوری انجام گردید.

مواد و روش‌ها

اعمال تنش

بدور ژنوتیپ ۳۱ Basma S. از مرکز تحقیقات توتون ارومیه تهیه و مراحل اولیه کاشت بذر، جوانهزنی و رشد دانه رست‌های تا مرحله دو برگی در داخل مخلوطی از پیت و پرلیت (به نسبت ۱ به ۱) انجام گرفت. بعد از مرحله دو برگی دانه رست‌های به گلدان‌های ۲ لیتری حاوی محلول هوکلند در فیتاترون پژوهشکده زیست‌فناوری دانشگاه ارومیه منتقل شدند. بعد از ۳۰ روز که گیاهان در سیستم آب کشت (هیدروپونیک) رشد کردند و به مرحله ۵ برگی رسیدند، تنش شوری اعمال شد. برای بررسی پاسخ مورفو لوژیکی گیاه به تنش شوری از سطوح صفر، ۵۰، ۱۰۰، ۱۵۰ و ۲۰۰ میلی مولار بر لیتر کلرید سدیم و برای بررسی الگوی پروتئوم از سطوح صفر و ۲۰۰ میلی مولار بر لیتر کلرید سدیم استفاده شد. تنش شوری به مدت ۱۲ روز اعمال و سپس نمونه گیری از برگ‌ها انجام گرفت.

استخراج پروتئین

استخراج پروتئین‌های محلول از قطعات برگی گیاه توتون پس از ۱۲ روز رشد در محیط کشت بدون کلرید سدیم (شاهد) و محیط کشت دارای ۲۰۰ میلی مولار کلرید سدیم، با استفاده از روش دامروال و همکاران (۸) با اندازه تغییرات انجام گرفت. ابتدا مقدار یک گرم از بافت گیاهی نگهداری شده در فریزر -۸۰ درجه سانتی گراد را در هاون با استفاده از ارت مایع به خوبی پودر نموده و سپس مقدار ۱۰ میلی لیتر محلول استون سرد (۲۰- درجه سانتی گراد) حاوی ۱۰٪ تری کلرواستیک اسید و - مرکاپتوتانول (۰/۵٪) که از قبل تهیه شده بود به پودر حاصل اضافه شد. مخلوط در هاون مجدداً ساییده شده و سپس نمونه‌ها با دور ۱۵۰۰۰ در دمای ۴ درجه سانتی گراد به مدت ۱۵ دقیقه سانتریفیوژ شدند. سپس محلول

سطح شوری، پتانسیل آب کاهش یافته و در نتیجه جذب آب توسط ریشه‌ها کمتر می‌شود. در چنین شرایطی برگ‌ها و اندام‌های هوایی تحت تاثیر قرار گرفته و سطح برگ‌ها و نهایتاً وزن تر گیاه کاهش می‌یابد. از طرف دیگر با بسته شدن روزنه‌ها در نتیجه کاهش آب، ورود دی اکسید کربن کاهش و در نتیجه میزان فتوسترات کم شده و میزان تنفس افزایش می‌یابد. بنابراین از یک طرف برگ‌ها کوچک شده و از طرف دیگر ذخیره مواد کربوهیدراتی حاصل از فتوسترات کاهش می‌یابد. این عوامل روی هم رفته منجر به کاهش در تعداد و اندازه‌ی سولول‌ها و در نهایت کاهش وزن تر گیاه می‌شود (۱۵). نتایج بدست آمده مشابه با نتایج سلیک و آتاك (۷) و همچنین رضوی‌زاده و همکاران (۲۳) می‌باشد که نشان دادند با افزایش غلظت کلرید سدیم وزن تر اندام هوایی توتون کاهش می‌یابد. همچنین، کاهش وزن تر اندام هوایی در گیاهان کلزا (۶)، ذرت (۱۰)، سیب زمینی (۱) و تربچه (۱۸) گزارش شده است که با افزایش سطح شوری وزن تر اندام هوایی در آنها کاهش یافته است و نتایج حاصل از این آزمایش را تایید می‌کنند.

پروتئینی حاصل از تیمارهای مختلف از نرمافزار Melanie (GeneBio, Geneva, Switzerland) 6.2 استفاده شد. پس از جفت نمودن لکه‌ها و جفت نمودن ژلهای مربوط به تیمارهای مختلف، اختلاف درصد حجمی (Vol%) لکه‌های پروتئینی با استفاده از آماره تی - استیوونت (t-Student) آزمون شده و لکه‌هایی که بیانشان تغییر یافته و در سطح ۵ درصد تفاوت معنی‌داری نشان دادند به عنوان لکه‌های کاندیدا شناسایی شدند.

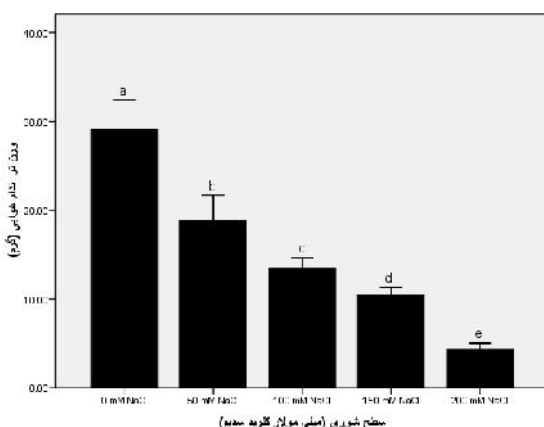
نتایج و بحث

پاسخ مورفولوژیکی گیاه توتون به تنش شوری رشد طولی اندام هوایی به طور معنی‌داری تحت تاثیر سطوح مختلف شوری قرار گرفت، به طوری که با افزایش سطح شوری کاهش معنی‌داری در رشد طولی اندام هوایی مشاهده شد (شکل ۱). کاهش شدیدی در وزن تر اندام هوایی در سطح شوری ۵۰ میلی‌مولار کلرید سدیم نسبت به شاهد مشاهده شد، با این حال بیشترین کاهش رشد در شوری ۲۰۰ میلی‌مولار کلرید سدیم مشاهده شد (شکل ۲). با افزایش



شکل ۱- تغییرات مورفولوژیک ژنوتیپ ۳۱ Basma S. در سطوح شوری صفر، ۵۰، ۱۰۰، ۱۵۰ و ۲۰۰ میلی‌مولار کلرید سدیم (۱۲ روز بعد از شروع تنش شوری)

Figure 1. Morphological variations of Basma S. 31 genotype in salinity levels of 0, 50, 100, 150 and 200 millimolar of NaCl (12 days after onset of salinity stress)



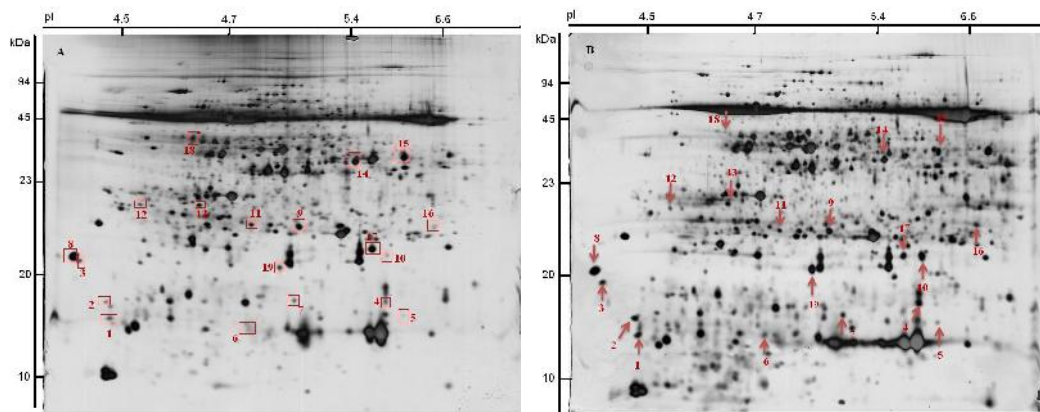
شکل ۲- تغییرات وزن تر اندام هوایی ژنتیپ S. 31 در سطوح شوری صفر، ۵۰، ۱۰۰، ۱۵۰ و ۲۰۰ میلی‌مولا ر کلرید سدیم (۱۲ روز بعد از شروع تنش شوری). ستون‌های عمودی نشانگر میانگین و انحراف معیار هستند. میانگین‌هایی که حداقل دارای یک حرف مشترک هستند در سطح احتمال ۵٪ اختلاف معنی‌دار ندارند.

Figure 2. Variation in aerial part fresh weight of Basma S. 31 genotype in salinity levels of 0, 50, 100, 150 and 200 millimolar of NaCl after 12 days from onset of salinity stress. Vertical columns show means and standard deviations. Means with the same letters for each column haven't significant difference at 5% probability level

پروتئینی در برگ ژنتیپ مورد مطالعه در سطح شوری ۲۰۰ میلی‌مولا ر نسبت به شاهد در سطح احتمال ۵٪ بیان متفاوت نشان دادند (جدول ۱). بر اساس تحلیل‌ها از مجموع ۱۹ لکه پروتئینی تعداد ۶ لکه پروتئینی دارای وزن مولکولی بین ۱۰ تا ۲۰ کیلو دالتون، ۱۰ لکه پروتئینی دارای وزن مولکولی بین ۲۰ تا ۲۳ کیلو دالتون و ۳ لکه پروتئینی دارای وزن مولکولی بین ۵۳ تا ۲۳ کیلو دالتون می‌باشند. بنابراین نزدیک به ۵۳ لکه پروتئینی بیشترین میزان لکه‌ها (۷ لکه پروتئینی معادل ۳۷٪ لکه‌ها) دارای نقطه ایزوالکتریکی بین ۵/۴ تا ۶/۶ می‌باشند. در نقطه ایزوالکتریک بین ۶/۶ تا ۷ هیچ لکه پروتئینی که بیان آن تحت تاثیر تنش شوری اختلاف معنی‌داری در سطح احتمال ۵٪ نشان دهد، مشاهده نشد (جدول ۱).

اثرات تنش شوری روی کمیت، کیفیت و درصد حجمی لکه‌های بروتئینی در برگ

جهت بررسی مولکولی پاسخ توتون به تنش شوری، گیاهان توتون در سطوح شوری صفر و ۲۰۰ میلی‌مولا ر کلرید سدیم ۱۲ روز بعد از شروع تنش شوری برای آنالیز پروتئوم مورد استفاده قرار گرفتند. نتایج حاصله نشان داد که در پروتئوم ژنتیپ ۳۱ در Basma S. 31 در سطح شوری ۲۰۰ میلی‌مولا ر کلرید سدیم، ۱۹ لکه پروتئینی از بین ۴۶۸ لکه شناسایی شده تغییرات بیان معنی‌داری در سطح ۵٪ در مقایسه با شاهد داشتند که لکه‌های دارای افزایش بیان در شامل لکه‌های شماره ۲، ۳، ۴، ۵، ۶، ۷، ۱۰، ۱۶ و ۱۹ و لکه‌های دارای کاهش بیان نسبت به شاهد شامل لکه‌های شماره ۸، ۹، ۱۰، ۱۱، ۱۲، ۱۳، ۱۴، ۱۵، ۱۶، ۱۷ و ۱۸ بودند (شکل ۳). از مجموع ۴۶۸ لکه پروتئینی شناسایی شده توسط الکتروفورز دویعدی در pH بین ۴ تا ۷ (بعد اول) و تا وزن مولکولی ۹۴ کیلو دالتون (بعد دوم) تعداد ۱۹ لکه



شکل ۳- اثرات تنفس شوری روی الگوی بیان پروتئین در برگ ژنوتیپ Basma S. 31 در سطوح شوری صفر (A) و ۲۰۰ (B) میلی مولار کلرید سدیم

Figure 3. Effects of salinity stress on protein expression pattern in leaf of Basma S.31 genotype at 0 (A) and 200 (B) millimolar of NaCl

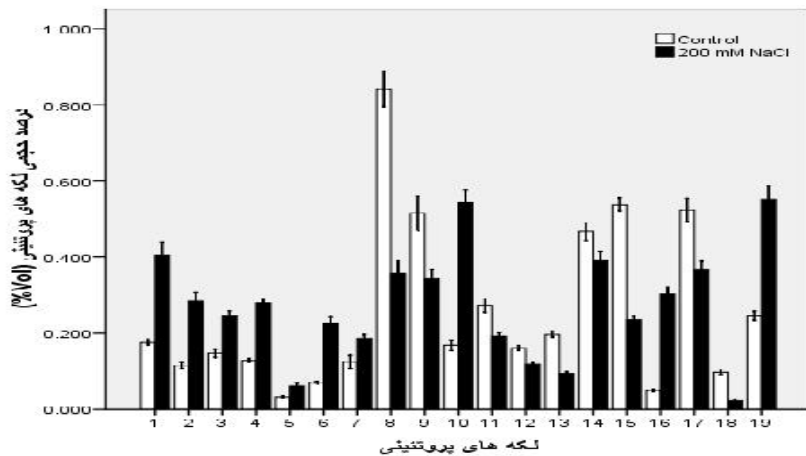
جدول ۱- نقطه ایزوالکتریک و وزن مولکولی لکه های پروتئینی حاصل از الکتروفورز دو بعدی در برگ ژنوتیپ Basma S. 31

Table 1. Isoelectric point and molecular weight of protein spots resulting from two-dimensional gel electrophoresis of Basma S. 31 leaf protein

kDa	۴-۴/۵	۴/۵-۴/۷	۴/۷-۵/۴	۵/۴-۶/۶	۶/۶-۷
pI					
۴۵-۹۴	-	-	-	-	-
۲۲-۴۵	-	۱	-	۲	-
۲۰-۲۳	۲	۲	۳	۳	-
۱۰-۲۰	۲	-	۲	۲	-
۰-۱۰	-	-	-	-	-

۱/۴۸ برابر افزایش بیان، می باشد (شکل ۴). همچنین نتایج نشان می دهد که بیشترین کاهش بیان مربوط به لکه پروتئینی ۱۸ با ۴/۴ برابر کاهش بیان، می باشد (شکل ۴).

آنالیز داده های مربوط به درصد حجمی لکه های پروتئینی برگ ژنوتیپ Basma S. 31 نشان می دهد که تحت تنفس شوری (۲۰۰ میلی مولار کلرید سدیم) بیشترین و کمترین افزایش بیان مربوط به لکه های ۱۶ و ۷ به ترتیب با ۶/۱ و ۷



شکل ۴- درصد حجمی (Vol%) لکه های پروتئینی برگ ژنوتیپ Basma S. 31. میزان هر ستون نشان دهنده میانگین درصد حجمی و انحراف میانگین از ۳ تکرار بیولوژیک می باشد.

Figure 4. Volume percentage of Basma S. 31's leaf protein spots. The value in each column show the mean volume percentage and standard deviation calculating from 3 biological replicates.

دالتون هستند که با نتایج آزمایش حاضر شباهت دارد، ولی برخلاف نتایج این مطالعه، تنها ۱۷٪ از لکه‌ها دارای نقطه ایزوالکتریک بالاتر از ۴/۷ بوده و درصد بالایی از این لکه‌ها (۸۳٪) دارای نقطه ایزوالکتریک زیر ۴/۷ می‌باشند. تغییرات الگوی پروتئون در آپولاست برگ گیاه توتون تحت تنش شوری توسط دانی و همکاران (۹) بررسی شده است. بر روی ژل‌های دوبعدی ۱۵۰ پروتئین به صورت تکرارپذیر ظاهر شدند. از این تعداد پروتئین ۲۰ لکه پروتئینی دارای تغییر قابل ملاحظه بودند. تعداد ۱۳ لکه پروتئینی کاکش بیان نشان داده، ۳ لکه پروتئینی تحت تنش شوری به وجود آمدند و ۴ لکه پروتئینی افزایش بیان داشتند. از این ۴ لکه پروتئین دو لکه جزء کیتینازها بوده، یک لکه پروتئین Germin-like و لکه آخر آلفا-گالاکتوزیداز بود. برخلاف آزمایش حاضر، نتایج دانی و همکاران (۹) نشان داد که بیشتر لکه‌ها کاکش بیان داشته‌اند ولی ۵۰٪ لکه‌ها وزن مولکولی زیر ۴۵ کیلو دالتون داشتند. سبحایان و همکاران (۲۵) با مطالعه بر روی برگ سویا تحت تنش شوری نشان دادند که تعداد ۱۹ لکه پروتئینی الگوی بیان شان تغییر یافته که از این تعداد، ۱۱ لکه پروتئینی افزایش بیان و ۸ لکه پروتئینی کاکش بیان داشتند، که مشابه با این آزمایش بیشتر لکه‌ها افزایش بیان داشتند. امینی و احسانپور (۳) با مطالعه بر روی برگ گونگ نشان دادند که تعداد ۱۸ لکه پروتئینی تحت تنش شوری الگوی بیان شان تغییر یافته که از این تعداد لکه پروتئینی ۸ عدد افزایش بیان، ۳ عدد کاکش بیان و تعداد ۷ لکه پروتئینی تحت تنش شوری به وجود آمدند، که هم راستا با نتایج آزمایش حاضر بوده و تعداد بیشتری از لکه‌ها افزایش بیان داشتند. فاتحی و همکاران (۱۲) با مطالعه بر روی برگ‌های جو تحت تنش شوری تعداد ۳۷۷ لکه پروتئینی شناسایی کردند که از این تعداد ۱۲۴ لکه پروتئینی در مقایسه با شاهد در سطح آماری ۵٪ اختلاف بیان داشتند. در آزمایش فاتحی و همکاران (۱۲) برخلاف نتایج آزمایش حاضر، از ۱۲۴ لکه پروتئینی تعداد بیشتری از لکه‌ها کاکش بیان داشته (۶۹) لکه پروتئین و تعداد کمتری افزایش بیان داشتند (۵۵) لکه پروتئین.

تشکر و قدردانی

از مرکز تحقیقات توتون ارومیه به خاطر تامین هزینه اجرای طرح تشکر و قدردانی می‌گردد.

پاسخ‌های گیاهان به تنش شوری شامل سمزدایی مواد مضر، حفظ هموستازی سلول و احیاء رشد می‌باشد (۱۴). بنابراین می‌توان گفت که گیاهان برای مقابله با تنش شوری و کاهش اثرات زیان‌بار آن، الگوی بیان ژن‌ها و الگوی پروتئین‌های داخل سلولی شان را تغییر می‌دهند (۱۷). تکنیک الکتروفورز دوبعدی برای مطالعه اثرات تنش شوری روی بیان سلولی پروتئین در برگ‌ها، ریشه‌ها و سوسپانسیون‌های سلولی تعدادی از گونه‌های حساس به شوری در خانواده گندمیان از قبیل برنج (۲۲،۱۱)، گندم (۲۷) استفاده شده است. علاوه بر خانواده گندمیان، چندین محصول اقتصادی دیگر از قبیل توتون (۲۳)، سیب‌زمینی (۱) و سویا (۲۵،۲) که حساسیت متوسطی نسبت به شوری دارند و تولید محصول شان بهویژه در مناطق خشک و نیمه خشک تحت تاثیر تنش شوری قرار می‌گیرند، با استفاده از تکنیک الکتروفورز دوبعدی مورد مطالعه قرار گرفته‌اند. نتایج این مطالعه نشان می‌دهد که تنش شوری موجب ایجاد تغییرات متقارن و معنی‌داری در الگوی پروتئین‌های برگ ژنوتیپ Basma S. 31 ژل‌های رنگ آمیزی شده تعداد ۴۶۸ لکه پروتئینی در ژنوتیپ Basma S. 31 به صورت تکرارپذیر شناسایی و مورد آغاز آماری قرار گرفتند و درصد بیشتری از این تعداد لکه افزایش بیان داشته‌اند. لکه‌هایی که نسبت به شاهد افزایش بیان داشته‌اند بیشتر شامل لکه‌هایی می‌باشند که دارای وزن مولکولی کم بوده و بر عکس، لکه‌هایی که کاکش بیان داشته‌اند بیشتر شامل لکه‌هایی می‌باشند که دارای وزن مولکولی بالا هستند. علاوه بر این نتایج مربوط به این آزمایش نشان داد که درصد بالایی از لکه‌ها (۶۳٪) در ژنوتیپ Basma S.31 دارای نقطه ایزوالکتریک بالای ۴/۷ هستند. نتایج این مطالعه تا حدودی مشابه با نتایج رضوی‌زاده و همکاران (۲۳) بوده، به طوری که در مطالعه ایشان تحت تنش شوری، در مجموع ۱۸ لکه پروتئینی الگوی بیان شان تغییر یافته و پروتئین‌های با وزن مولکولی کم معمولاً افزایش بیان و پروتئین‌های با وزن مولکولی بالا کاکش بیان نشان داده‌اند. ولی برخلاف نتایج پژوهش حاضر، در مطالعه ایشان (۲۳) تعداد بیشتری از لکه‌ها کاکش بیان (۱۰ لکه پروتئینی) و تعداد کمتری افزایش بیان داشتند (۸ لکه پروتئینی). نتایج مربوط به تحقیق رضوی‌زاده و همکاران (۲۳) بر روی توتون نشان داد که از مجموع ۱۸ لکه پروتئینی که الگوی بیان شان تغییر یافته است، بیش از ۸۳٪ آنها دارای وزن مولکولی زیر ۴۵ کیلو

منابع

1. Aghaei, K., A.A. Ehsanpour and S. Komatsu. 2008a. Proteome analysis of potato under salt stress. *Journal of Proteome Research*, 7: 4858-4868.
2. Aghaei, K., A.A. Ehsanpour, A.H. Shah and S. Komatsu. 2008b. Proteome analysis of soybean hypocotyls and root under salt stress. *Amino Acids*, 36: 91-98.
3. Amini, F. and A.A. Ehsanpour. 2010. Study of protein changes in tomato (*Lycopersicon esculentum*) under salt stress using two dimensional electrophoresis *Iranian Journal of Plant Biology*, 1: 13-24 (In Persian).
4. Aoki, A., A. Kanegami, M. Mihara, T.T. Kojima, M. Shiraiwa and H. Takahara. 2005. Molecular cloning and characterization of a novel soybean gene encoding a leucine-zipper-like protein induced to salt stress. *Gene*, 356: 135-145.
5. Bradford, M.M. 1976. Rapid and sensitive method for the quantitation of microgram quantities of protein utilizing the principle of protein-dye binding. *Analytical Biochemistry*, 72: 248-254.
6. Bybordi, A., S.J. Tabatabaei and A. Ahmedov. 2010. The influence of salinity stress on antioxidant activity in canola cultivars (*Brassica napus L.*). *Journal of Food, Agriculture & Environment*, 8: 122-127.
7. Celik, O. and C. Atak. 2012. The effect of salt stress on antioxidative enzymes and proline content of two Turkish tobacco varieties. *Turkish Journal of Biology*, 36: 339-356.
8. Damerval, C., D. De Vienne, M. Zivy and H. Thiellement. 1986. Technical improvements in two-dimensional electrophoresis increase the level of genetic variation detected in wheat-seedling proteins. *Electrophoresis*, 7: 52-54.
9. Dani, V., W.J. Simon, M. Duranti and R.R.D. Croy. 2005. Changes in the tobacco leaf apoplast proteome in response to salt stress. *Proteomics*, 5: 737-745.
10. Deng, C.N., G.X. Zhang, X.L. Pan and K.Y. Zhao. 2010. Chlorophyll fluorescence and gas exchange responses of maize seedlings to saline-alkaline stress. *Bulgarian Journal of Agricultural Science*, 16: 49-58.
11. Dooki, A.D., F.J. Mayer-Posner, H. Askari, A.A. Zaiee and G.H. Salekdeh. 2006. Proteomic responses of rice young panicles to salinity. *Proteomics*, 6: 6498-6507.
12. Fatehi, F., A. Hosseinzadeh, H. Alizadeh, M. Haji Abbasi and A. Shabani. 2011. The study of proteomic salinity responses in barley. *Iranian Journal of Field Crop Science*, 42: 617-626 (In Persian);
13. Ghasemi Bezdi, K. and B. Aidin. 2013. Study of callus formation and salinity tolerance in different explants of cotton (*Gossypium sp.*) cultivars *in vitro*. *Journal of Crop Breeding*, 4(10): 94-108 (In Persian).
14. Hajheidari, M., M. Abdollahian-Noghabi, H. Askari, M. Heidari, S.Y. Sadeghian, E.S. Ober and G. Hosseini Salekdeh. 2005. Proteome analysis of sugar beet leaves under drought stress. *Proteomics*, 5: 950-960.
15. Hasaneen, M.N.A., M.E. Younis and S.M.N. Tourky. 2009. Plant growth, metabolism and adaptation in relation to stress conditions XXIII. Salinity-biofertility interactive effects on growth, carbohydrates and photosynthetic efficiency of *Lactuca sativa*. *Plant Omics*, 2: 60-69.
16. Jiang, Y., B. Yang, N.S. Harris and M.K. Deyholos. 2007. Comparative proteomic analysis of NaCl stress- responsive proteins in *Arabidopsis* roots. *Journal of Experimental Botany*, 58: 3591-3607.
17. Kanlaya, K.N., D. Sakda, W. Chaisiri, B. Sumontip, K. Manit and T. Piyada. 2005. Protein profiles in response to salt stress in leaf sheaths of rice seedlings. *Science Asia*, 31: 403-408.
18. Munir, S., E.H. Siddiqi, K.H. Bhatti, K. Nawaz, K. Hussain, R. Rashid and I. Hussain. 2013. Assessment of inter-cultivar variations for salinity tolerance in winter radish (*Raphanus sativus L.*) using photosynthetic attributes as effective selection criteria. *World Applied Sciences Journal*, 21: 384-388.
19. Nemati, I., F. Moradi, M.A. Esmaili and S. Gholizadeh. 2011. Change in soluble sugars and mineral ions distribution pattern in rice seedlings grown under saline condition. *Journal of Crop Breeding*, 3(8): 62-80 (In Persian).
20. O' Farrell, P.H. 1975. High resolution two-dimensional electrophoresis of proteins. *Journal of Biological Chemistry*, 250: 4007-4021.
21. Parida, A.K. and A.B. Das. 2005. Salt tolerance and salinity effect on plants: a review. *Ecotoxicology and Environmental Safety*, 60: 324-349.
22. Parker, R., T.J. Flowers, A.L. Mooren and N.V.J. Harpham. 2006. An accurate and reproducible method for proteome profiling of the effects of salt stress in the rice leaf lamina. *Journal of Experimental Botany*, 57:1109-1118.
23. Razavizadeh, R., A.A. Ehsanpour, N. Ahsan and S. Komatsu. 2009. Proteome analysis of tobacco leaves under salt stress. *Peptides*, 30: 1651-1659.
24. Sobhanian, H., K. Aghaei and S. Komatsu. 2011. Changes in the plant proteome resulting from salt stress: Toward the creation of salt-tolerant crops? *Journal of Proteomics*, 74: 1323-1337.
25. Sobhanian, H., R. Razavizadeh, Y. Nanjo, A.A. Ehsanpour, F. Rastgar Jazii, N. Motamed and S. Komatsu. 2010. Proteome analysis of soybean leaves, hypocotyls and roots under salt stress. *Proteome Science*, 8: 1-15.
26. Tuteja, N. 2007. Mechanisms of high salinity tolerance in plants. *Methods in Enzymology*, 428:419-438.
27. Wang, M.C., Z.Y. Peng, C.L. Li, F. Li, C. Liu and G.M. Xia. 2008. Proteomic analysis on a high salt tolerance introgression strain of *Triticum aestivum/Thinopyrum ponticum*. *Proteomics*, 8: 1470-1489.
28. Zhang, Y.Y., J.B. Lai, S.H. Sun, Y. Li, Y.Y. Liu, L.M. Liang, M.S. Chen and Q. Xie. 2008. Comparison analysis of transcripts from the halophyte *Thellungiella halophila*. *Journal of Integrative Plant Biology*, 50:1327-1335.

Proteome Analysis of Tobacco (*Nicotiana tabacum* L.) Leaves under Salt Stress using Two-Dimensional Electrophoresis

Ali Asghar Hatamnia¹, Reza Darvishzadeh^{2,3} Nasser Abbaspour⁴, Fatemeh Rahmani⁴, Seyyed Reza Alavi⁵ and Farzad Banaei⁶

1-Assistant Professor, Faculty of Science, Ilam University

2- Professor, Faculty of Agriculture, Urmia University (Corresponding author: r.darvishzadeh@urmia.ac.ir)

3-Professor, Institute of Biotechnology, Urmia University

4- Associate Professor, Faculty of Science, Urmia University

5- Researcher, Urmia Tobacco Research Center

6- PhD Student in Plant Breeding, University of Tabriz

Received: April 24, 2016

Accepted: July 13, 2016

Abstract

In order to understand the response of tobacco (*Nicotiana tabacum* L.) to salt stress, the comparative analysis of leaf proteome of Basma S. 31 genotype were performed. Plants were treated with or without 200 mM NaCl for 12 days. The proteins were extracted from leaves, and then separated by two-dimensional electrophoresis. The fresh weight and length of shoot of studied genotype showed greater decrease with increasing salinity. The number of 19 protein spots (out of 468 protein spots) was differentially expressed in leaves under NaCl treatment. Although the levels of some proteins were reduced by salt-treatments, an increase of accumulations in some proteins was observed under salt stress. The number of protein spots with increased expression, were higher than the number of protein spots with decreased expression (10 and 9 protein spots, respectively). Results revealed that, spots of 16 and 7 were highly and lowly up-regulated with 6.1-fold and 1.48- fold, respectively. Also, the spot of 18 with 4.4- fold was highly down-regulated among all spots. Salinity is a complex phenomenon that causes not just osmotic and toxic ion effects, but also nutritional and metabolism imbalance. According to the results, it seems that salinity can change the expression levels of some special proteins in leaves of tobacco that may in turn play a role in the tolerance to saline conditions. So, it is believed that increased expression of proteins with low molecular weight that regulate cellular activity, can be effective in tobacco salt tolerance.

Keywords: Proteome, Protein spot, Salt stress, Two dimensional electrophoresis, Tolerance